

01;05

## **Модель сверхчувствительности сжимаемых кристаллогидратов в сверхнизкочастотных электрических полях**

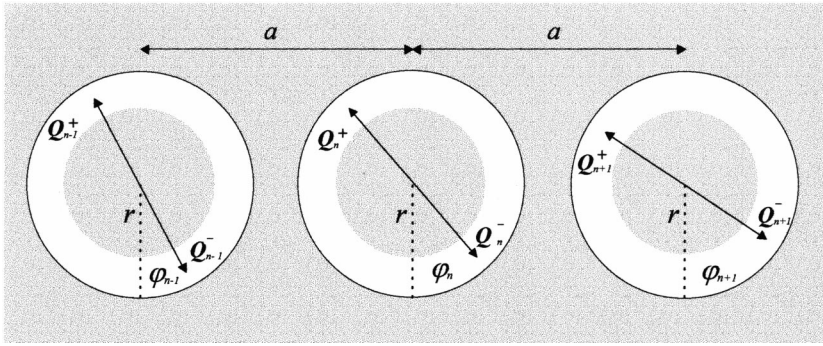
© Е.Г. Фатеев

Институт прикладной механики УрО РАН, Ижевск  
E-mail: fateev@ipm.uni.udm.ru

Поступило в Редакцию 25 января 2000 г.

Предложена новая модель, объясняющая существенное падение механической устойчивости сильно сжимаемых кристаллогидратов в весьма слабых сверхнизкочастотных электрических полях. Модель основана на рассмотрении дегидратирующихся при сильном сжатии кристаллогидратов в виде дисперсных систем, которые можно описывать посредством потенциалов взаимодействия неточечных электрических осцилляторов с сильно переменными дипольными моментами. Расчеты свидетельствуют о реалистичности предложенных модельных представлений.

Недавно в экспериментах с эффектом Бриджмена (взрывоподобная неустойчивость диэлектрических твердых тел при их сильном одноосном сжатии в области высоких давлений) обнаружено значительное падение порога устойчивости кристаллогидратов на весьма слабое воздействие сверхнизкочастотным (СНЧ)  $\omega < 10^3$  Hz электрическим полем в весьма узких СНЧ диапазонах [1–5]. Причем падение устойчивости наблюдается в СНЧ полях в  $> 10^3$  раз более слабых, чем реально необходимо для электрического пробоя таких сред. Этому эффекту предшествует гигантский всплеск диэлектрической восприимчивости на СНЧ, который, очевидно, связан с кратковременным возникновением в сильно сжимаемых кристаллогидратах неоднородных структур типа непроводящих микровключений с тонкими жидкими оболочками с подвижными ионами [3–5]. Существующие модели описываемых явлений основываются на достаточно экзотических условиях, которые, как предполагается в [3], могут привести к появлению СНЧ максимума в спектре плотности энергии, вводимой в пробой, а значит, и к по-



**Рис. 1.** Схематичное представление модельной системы в виде цепочки дипольных осцилляторов, изображающих колебания зарядов в оболочках (реальная толщина которых может быть порядка  $\sim 30 \div 300 \text{ \AA}$ ), вокруг частиц с диаметрами  $2r$ , расположенных друг от друга на расстоянии  $a$ .

явлению особенности в СНЧ спектре сверхчувствительности. Причем этот максимум мог бы проявляться [3], если времена релаксаций зарядов в жидких оболочках вокруг диэлектрических частичек микронных размеров окажутся порядка  $\tau \sim 10^{-2} \text{ s}$ . Но в действительности существующие времена релаксаций в описанных системах, определяемые по характерной частоте максимума диэлектрических потерь  $\Omega \sim 5 \cdot 10^4 \text{ Hz}$ , имеют порядок  $\tau = 1/\Omega \sim 10^{-5} \text{ s}$ . Поэтому для понимания реальной возможности существования эффектов сверхчувствительной неустойчивости и локализации электрических возбуждений в узких диапазонах СНЧ, очевидно, инициирующих эти эффекты, рассмотрим здесь такую модель твердофазной дисперсной системы, в которой бы учитывалась неточечность осциллирующих диполей в цепочке и переменность их моментов.

При нахождении потенциальной энергии цепочки осцилляторов учтем возможность расположения неточечных диполей в ячейках радиуса  $r$  с переменным моментом в цепочке на минимальном расстоянии друг от друга  $a \geq 2r$ , как показано на рис. 1. Рассмотрим взаимодействия между диполями в кулоновском приближении. Пусть некоторые углы  $\varphi_{n-1}$ ,  $\varphi_n$ ,  $\varphi_{n+1}$  у соответствующих осцилляторов 1–3 характеризуют отклонения осей диполей от положений неустойчивого

равновесия (рис. 1). Тогда общий вид потенциальной энергии системы осцилляторов с диполь-дипольными взаимодействиями запишем в виде

$$\begin{aligned}
 U_{int} = \frac{1}{4\pi\epsilon\epsilon_0} \sum_n \left\{ \left( \frac{Q_{n-1}^+ Q_n^+ \mathbf{R}_{n-1,n}^{++}}{(R_{n-1,n}^{++})^2} + \frac{Q_{n-1}^- Q_n^- \mathbf{R}_{n-1,n}^{--}}{(R_{n-1,n}^{--})^2} \right. \right. \\
 \left. \left. - \frac{Q_{n-1}^- Q_n^+ \mathbf{R}_{n-1,n}^{+-}}{(R_{n-1,n}^{+-})^2} - \frac{Q_{n-1}^+ Q_n^- \mathbf{R}_{n-1,n}^{-+}}{(R_{n-1,n}^{-+})^2} \right) \right. \\
 \left. + \left( \frac{Q_n^+ Q_{n+1}^+ \mathbf{R}_{n,n+1}^{++}}{(R_{n,n+1}^{++})^2} + \frac{Q_n^- Q_{n+1}^- \mathbf{R}_{n,n+1}^{--}}{(R_{n,n+1}^{--})^2} \right. \right. \\
 \left. \left. - \frac{Q_n^- Q_{n+1}^+ \mathbf{R}_{n,n+1}^{+-}}{(R_{n,n+1}^{+-})^2} - \frac{Q_n^+ Q_{n+1}^- \mathbf{R}_{n,n+1}^{-+}}{(R_{n,n+1}^{-+})^2} \right) \right\}, \quad (1)
 \end{aligned}$$

где  $\mathbf{R}_{n-1,n}^{++}$ ,  $\mathbf{R}_{n-1,n}^{--}$ ,  $\mathbf{R}_{n-1,n}^{+-}$ ,  $\mathbf{R}_{n-1,n}^{-+}$ ,  $\mathbf{R}_{n,n+1}^{++}$ ,  $\mathbf{R}_{n,n+1}^{--}$ ,  $\mathbf{R}_{n,n+1}^{+-}$ ,  $\mathbf{R}_{n,n+1}^{-+}$  — радиус-векторы между соответствующими зарядами в цепочке. Здесь  $\epsilon$  — диэлектрическая проницаемость среды между частицами и  $\epsilon_0$  — диэлектрическая постоянная.

Для построения одномерной модели системы неточечных дипольных осцилляторов с переменными моментами необходимо учесть, что величины зарядов в ячейке  $n$  должны зависеть от напряженности внешних и локальных полей, создаваемых движущимися соседними зарядами в ячейках  $n - 1$  и  $n + 1$ . Предположим, что влияние не соседних диполей друг на друга эффективно экранируются и лишь опосредуются через цепочку. Рассматривая явление поляризации в осцилляторах достаточно формально, игнорируем все остальные возможные (см., например, [6–8]) физико-химические процессы в них и вокруг них. Вклад внешних и всех локальных полей в поляризацию любого из зарядов  $Q_n^+$ ,  $Q_n^-$ ,  $Q_{n-1}^+$ ,  $Q_{n-1}^-$  подчиним принципу суперпозиции с учетом их эффективного влияния в зависимости от частоты. Причем зависимость поляризации от частоты локального  $\omega_n$  или внешнего  $\Omega$  возбуждения для отдельной частицы достаточно формально подчинить, например, дисперсионному уравнению Дебая [6–8]. Тогда для величины положительных зарядов (учтем, что  $|Q_n^+| = |Q_n^-|$  на концах диполей в ячейках  $n - 1$ ,  $n$  и  $n + 1$

соответственно запишем

$$Q_n^+ = \beta \left( \frac{c_0 e (\varepsilon_s - \varepsilon_\infty) \mathbf{R}_{n,n-1}^{++}}{4\pi\varepsilon\varepsilon_0 (1 + (\tau\omega_{n-1})^2) (R_{n,n-1}^{++})^3} + \frac{c_0 e (\varepsilon_s - \varepsilon_\infty) \mathbf{R}_{n,n+1}^{++}}{4\pi\varepsilon\varepsilon_0 (1 + (\tau\omega_{n+1})^2) (R_{n,n+1}^{++})^3} - \frac{c_0 e (\varepsilon_s - \varepsilon_\infty) \mathbf{R}_{n,n-1}^{+-}}{4\pi\varepsilon\varepsilon_0 (1 + (\tau\omega_{n-1})^2) (R_{n,n-1}^{+-})^3} - \frac{c_0 e (\varepsilon_s - \varepsilon_\infty) \mathbf{R}_{n,n+1}^{+-}}{4\pi\varepsilon\varepsilon_0 (1 + (\tau\omega_{n+1})^2) (R_{n,n+1}^{+-})^3} + \frac{E_n^{ext}}{1 + (\tau\Omega)^2} \right). \quad (2)$$

Подобные выражения можно записать и для  $Q_{n-1}^+$ ,  $Q_{n+1}^+$ . Здесь  $\tau$  — время релаксации связанных зарядов в оболочках,  $\varepsilon_s$  и  $\varepsilon_\infty$  — максимальное СНЧ и минимальное высокочастотное значения диэлектрической проницаемости соответственно. Значение  $c_0$  представляет собой такое количество элементарных зарядов  $e$  на концах диполей, которое обеспечивает в процессах поляризации частиц изменение диэлектрической проницаемости системы на единицу. Внешнее однородное гармоническое возмущающее поле (для простоты направленное вдоль оси цепочки диполей) в окрестности частицы  $n$  запишем

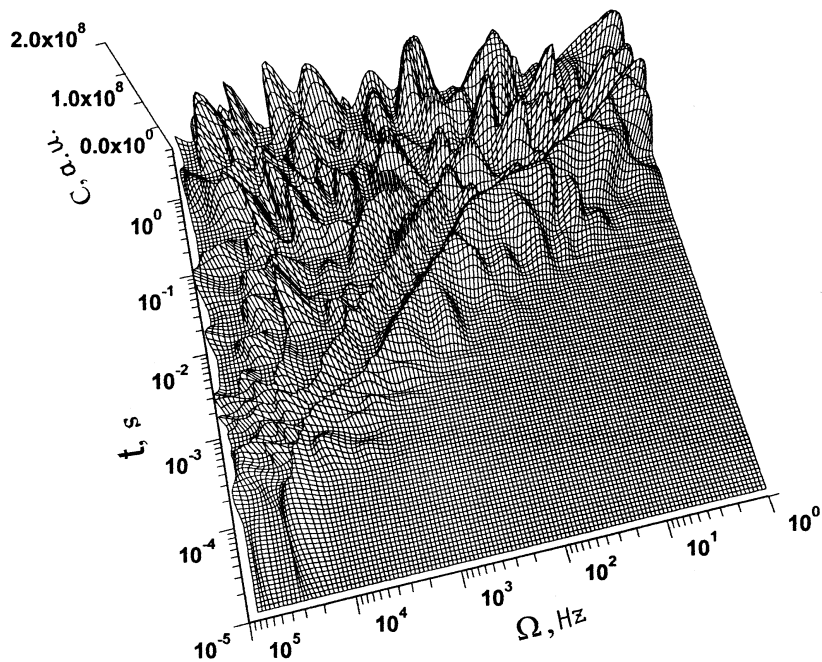
$$E_n^{ext} = 2\varepsilon^{-1} E \sin(2\pi\Omega t) \cos(\varphi_n). \quad (3)$$

Аналогичные выражения для возмущающего поля можно записать и для окрестностей  $n-1$  и  $n+1$  ячеек. При нахождении полей  $E_n$ ,  $E_{n-1}$  и  $E_{n+1}$  предполагалось, что заряды на концах  $n$  и  $n-1$  диполей могут принимать для  $\omega_n \rightarrow \infty$  величину  $Q_\infty = c_0 e \varepsilon_\infty$  и при  $\omega_n \rightarrow 0$  значение  $Q_0 = c_0 e (\varepsilon_s - \varepsilon_\infty)$ . Считаем, что у всех частиц в цепочке  $c_0 = \text{const}$ . Коэффициент пропорциональности  $\beta$  соответствует величине заряда на концах диполей, индуцируемого в поле с единичной напряженностью.

Выражение для кинетической энергии с зарядами массой  $M_n = c_n m$ , сосредоточенных на концах диполей, имеет вид

$$T_k = \frac{1}{2} \sum_n J_n \dot{\varphi}_n^2. \quad (4)$$

Здесь  $J_n = c_n m r^2$  — момент инерции,  $c_n$  — количество нескомпенсированных зарядов (например, катионов или анионов) с массой  $m$  в оболочке  $n$  ячейки.



**Рис. 2.** Временная эволюция сверхнизкочастотных спектров максимальных значений поляризации зарядов при действии на цепочку осцилляторов длиной  $l = 10^{-3}$  м весьма слабым гармоническим электрическим полем при следующих параметрах:  $E_0 = 10^4 \div 10^5$  В/м,  $r = 10^{-6}$  м,  $a = 2.1 \cdot 10^{-6}$  м,  $\tau = 1.6 \cdot 10^{-5}$  с,  $\varepsilon_\infty = 8$ ,  $\varepsilon_s = 650$ ,  $c_0 = 10^5$ ,  $\beta = 1$ ,  $\xi = 10^{-33}$  и  $m = 1.6 \cdot 10^{-27}$  кг.

Допустим, что диссипативные силы находятся в линейной зависимости от угловой скорости движения зарядов. Тогда соответствующая диссипативная функция для цепочки с параметром диссипации  $\xi_n$  приобретает форму

$$D = \frac{1}{2} \sum_n c_n \xi_n r^2 \dot{\varphi}_n^2. \quad (5)$$

Силу взаимодействия внешнего поля с цепочкой осцилляторов можно записать в виде

$$F_n = 2\varepsilon^{-1}E \sin(2\pi\Omega t) \sum_n Q_n \cos(\varphi_n), \quad (6)$$

где величина зарядов на концах диполей аддитивно зависит от локальных и внешних полей в соответствии с отношением (7).

Используя уравнение Эйлера–Лагранжа с учетом диссипации (5) и внешнего возбуждения (6), найдем для Лагранжиана

$$L = T_k - U_{int}, \quad (7)$$

полагая, что переменные  $\varphi_n$  в один и тот же момент времени слабо отличаются у соседних диполей, т.е. в континуальном приближении  $\varphi_n - \varphi_{n-1} \sim \delta$ , когда имеет место переход  $na \rightarrow x$ ,  $\varphi_n(t) \rightarrow \varphi(x, t)$ , следующее нелинейное уравнение, напоминающее уравнение синус-Гордона [9–11]:

$$\frac{\partial^2 \varphi}{\partial t^2} + \nu_0^2 \frac{\partial^2 \varphi}{\partial x^2} - \theta_0^2 \sin(\varphi) - \eta \frac{\partial \varphi}{\partial t} = \gamma(x, t). \quad (8)$$

Здесь аналог максимальной скорости распространения возмущений в описываемой системе

$$\nu_0 = \sqrt{X_1(x, t)/W_1(x, t)}. \quad (9)$$

Коэффициент

$$\theta_0 = \sqrt{\Gamma_1(x, t)/W_1(x, t)} \quad (10)$$

— аналог плазменной частоты. В (8) коэффициент, ответственный за уровень диссипации,

$$\eta = Dis(x, t)/W_1(x, t) \quad (11)$$

и возмущение

$$\gamma(x, t) = [F(x, t) - W_2(x, t) - X_2(x, t)]/W_1(x, t). \quad (12)$$

Здесь  $X_1(x, t)$ ,  $X_2(x, t)$ ,  $\Gamma_1(x, t)$ ,  $\Gamma_2(x, t)$ ,  $W_1(x, t)$ ,  $W_2(x, t)$ ,  $Dis(x, t)$ ,  $F(x, t)$  — весьма громоздкие выражения, полностью представленные в [12].

Для анализа характера СНЧ возбуждений в таких системах и возможности проявления некоторых других эффектов с учетом ограниченности систем по размерам проведем соответствующие для уравнения (8) численные расчеты. Граничные условия для цепочки осцилляторов длиной  $l$  запишем в виде

$$\varphi(0, t) = \varphi(l, t) = 0. \quad (13)$$

Для численного решения (8) используем соответствующий конечно-разностный метод (см., например, [13,14]). В итоге, используя соответствующие уравнению (8) аппроксимации [12], можно найти эволюцию частотных спектров положительных ветвей амплитуд возбуждений (рис. 2) при действии на цепочку осцилляторов (с параметрами, указанными под рис. 2) весьма слабым гармоническим электрическим полем. Величины  $\varepsilon_\infty$ ,  $\varepsilon_s$  и  $\tau_1$  являются характерными для дисперсных систем, с которыми, как нам известно, впервые экспериментально наблюдались эффекты [1–5], являющиеся следствием СНЧ электрических возбуждений. Значения же  $r$  и  $a$  подобраны и, очевидно, являются вполне реалистичными для исследованных в [1–5] кристаллогидратных систем.

Как оказалось, описанная здесь модельная система демонстрирует гипервозбуждаемость на СНЧ в широком диапазоне времен релаксации  $\tau \sim 10^{-5} \div 10^{-0}$  s. Ясно видно, что при СНЧ накачке в начальные моменты времени ( $t < 1$  s) модельная система имеет участок с резонансным типом возбуждений, переходящим с течением времени ( $t > 1$  s) к дисперсной зависимости дебаевского типа. Причем пики основного резонанса и появляющихся при  $t > 10^{-3}$  s спутанных с течением времени ( $t \rightarrow 1$  s) смещаются в область ультранизких частот (УНЧ)  $\Omega < 10$  Hz. Конечно, конкретный вид эволюции спектров возмущений для других параметров возбуждений, ячеек и т. п. меняется, но их характерные детали подобны спектру, представленному на рис. 2, и устойчиво локализуются на СНЧ, в том числе и для других длин цепочек и времен релаксации  $\tau$ .

Экспериментальным свидетельством возможности существования именно такой динамики колебаний, которая найдена в численных расчетах для нашей модели, как здесь представляется, является эффект сверхчувствительности сжимаемых кристаллогидратов к воздействию на них весьма слабыми СНЧ электрическими полями в довольно узком диапазоне частот  $20 < \Omega < 40$  Hz [1–5]. Более полная информация о результатах расчетов и их интерпретация будет опубликована позднее.

## Список литературы

- [1] Фатеев Е.Г. // Письма в ЖТФ. 1993. Т. 19. В. 10. С. 48–52.
- [2] Фатеев Е.Г. // Письма в ЖТФ. 1994. Т. 20. В. 20. С. 83–88.
- [3] Фатеев Е.Г. // ЖТФ. 1996. Т. 66. В. 6. С. 93–105.
- [4] Фатеев Е.Г. // Докл. РАН. 1997. Т. 354. В. 2. С. 252–254.
- [5] Фатеев Е.Г. // Письма в ЖЭТФ. 1997. Т. 65. В. 12. С. 876–880.
- [6] Дебай П. Полярные молекулы / Пер. с нем. ГНТИ. М.-Л., 1931. 247 с.
- [7] Хагедорн Р. // УФН. 1967. Т. 91. В. 1. С. 151–165.
- [8] Челидзе Т.Л., Деревянко А.И., Куриленко О.Д. Электрическая спектроскопия гетерогенных систем. Киев: Наук. думка, 1977. 232 с.
- [9] Давыдов А.С. Солитоны в молекулярных системах. Киев: Наук. думка, 1988. 216 с.
- [10] Солитоны в действии / Под ред. К. Лонгрэн и Э. Скотт. М.: Мир, 1981. 312 с.
- [11] Додд Р., Эйлбек Дж., Гиббон Дж., Моррис Х. Солитоны и нелинейные волновые уравнения. М.: Мир, 1988. 694 с.
- [12] Фатеев Е.Г. Деп. в ВИНТИ 15.06.99, № 1911-В 99. 32 с.
- [13] Марчук Г.И. Методы вычислительной математики. М.: Наука, 1989. 608 с.
- [14] Ames W.F. Numerical Methods for Partial Differential Equations. New York: Academic, 1977. 52 p.